

## بررسی تأثیر عملیات حرارتی بر تبلور و شفافیت شیشه- سرامیک نانوبلور میکائی لیتیمی\*

وجیهه خانی<sup>(۱)</sup>

پروین علیزاده<sup>(۲)</sup>

### چکیده

در این پژوهش، تأثیرهای شیشه- سرامیک نانوبلور و شفاف میکائی لیتیمی به روش ذوب و ریخته‌گری بررسی شد. تأثیر دما و زمان بر روی فازهای بلورین، ریزساختار و میزان شفافیت شیشه- سرامیک مطالعه و بررسی شد. به منظور دست‌یابی به ریزساختاری یکنواخت و نانوبلور، تعیین شرایط بهینه در مرحله‌ی تبلور ضروری بود. دما و زمان بهینه برای تبلور به ترتیب برابر با  $650^{\circ}\text{C}$  و ۱۵ ساعت به دست آمد. فازهای موجود در شیشه- سرامیک‌ها به کمک پراش پرتوی ایکس (XRD) و ریزساختار آن‌ها بهوسیله‌ی میکروسکوپ الکترونی رویی (SEM) بررسی شدند. نتایج نشان دادند که توزیع یکنواخت نانوبلورهای لیتیم- میکا به اندازه‌ی کمتر از  $30\text{ نانومتر}$  در زمینه‌ی شیشه، باعث کسب ترکیبی از خواص مناسب در نمونه می‌شود.

### واژه‌های کلیدی

شیشه- سرامیک، میکائی لیتیمی، شفافیت، نانوبلور.

## Influence of Heat Treatment on Crystallization and Transparency of Glass-Ceramics Containing Lithium-Mica Nanocrystals

V. Khani

P. Alizadeh

### Abstract

*In this study, the preparation of transparent glass-ceramics with lithium-mica nanocrystals by melting-quenching method was investigated. The effect of heat treatment time and temperature on the crystalline phases, microstructure and transparency of the samples were studied. In order to obtain a fine microstructure, an optimum condition for heat treatment has been found to be very important in controlling the crystallization process. The optimum condition of crystallization process was obtained by heating at  $655^{\circ}\text{C}$  for 15 hours. The crystallization process of glasses was investigated by DTA, XRD and SEM techniques. Transparent glass-ceramics in which a large amount of lithium-mica with the particle size of less than 50 nm was separated, was prepared using the optimum conditions of heat treatment.*

**Key Words** Glass-ceramic, Lithium-mica, Transparency, Nanocrystal

\* نسخه‌ی نخست مقاله در تاریخ ۹۱/۱۱/۲۳ و نسخه‌ی پایانی آن در تاریخ ۹۱/۱۱/۳۰ به دفتر نشریه رسیده است.

(۱) دانش آموخته‌ی کارشناسی ارشد، دانشکده مهندسی، دانشگاه تربیت مدرس

(۲) نویسنده‌ی مسؤول: دانشیار، دانشکده مهندسی، دانشگاه تربیت مدرس

## مقدمه

دسته از شیشه- سرامیک‌ها استفاده می‌شود [4]. خانواده‌ی دیگری از شیشه- سرامیک‌های شفاف مانند شیشه- سرامیک‌های اسپینل، مولایت، فورستریت و گانیت که با فلزات واسطه همراه شده‌اند، در لیزرهاي فروسرخ، تقویت کننده‌ی امواج، سلول‌های خورشیدی و نمایش‌گرهای بلور مایع (LCD's) کاربرد دارند [1,5,6]. شیشه- سرامیک‌های با ضریب اپتیک غیر خطی و خواص الکتریکی مناسب، در کاربردهای الکترواپتیک استفاده می‌شوند [7]. یکی از ویژگی‌های مهم این شیشه- سرامیک‌ها، شاخص الکترواپتیک یا ضریب اپتیکی غیرخطی آن‌ها است که با پدیده‌ی الکترواپتیک کر نشان داده می‌شود. پدیده‌ی کر عبارتست از تغییر ضریب شکست ماده با اعمال میدان الکتریکی. ضریب کر برای بهترین شیشه‌ها حدود  $\frac{M}{V^2} = 10^{-14}$  است. تبلور شیشه‌ها می‌تواند باعث افزایش ضریب کر شده و آن را به‌طور متوسط تا  $\frac{M}{V^2} = 10^{-12}$  افزایش دهد. تحقیقات ثابت کرده‌اند که ضریب کر به‌میزان فاز بلورین بستگی دارد و با بالا رفتن درصد حجمی فاز بلورین افزایش می‌یابد.

شیشه‌های حاوی بلورهای الکترواپتیک مانند  $\text{LiNbO}_3$ , بالاترین ضریب کر را در میان شیشه سرامیک‌ها دارند. بلورهای گروه  $\text{ABO}_3$  مانند  $\text{BaTiO}_3$ ,  $\text{LiTaO}_3$ ,  $(\text{Li},\text{K},\text{Na})\text{NbO}_3$ ، اکسیدی (سیلیسی، ژرماناتی و مانند آن) بلورینه شوند. این شیشه- سرامیک‌ها به‌دلیل ضریب اپتیکی غیرخطی و شفافیت بالا، در نواحی مرئی و فروسرخ در پیزوالکتریک‌ها، مجموعه‌های هدایت هوایپما و موج‌برها در رسانه‌ها استفاده می‌شوند (۸ و ۹). شیشه- سرامیک‌هایی که پایه‌ی آن‌ها فلورایدها و اکسی‌فلورایدها هستند، میزبان مناسبی برای یون‌های خاکی کم‌یاب می‌باشند. وجود خواص نورتابی مناسب در این شیشه- سرامیک‌ها، آن‌ها را برای کاربرد در مواد لیزر، تقویت کننده‌ی امواج و دیودهای نور مناسب

فناوری مدرن امروزی نیازمند مواد جدیدی با کارایی زیاد می‌باشد. مواد پیشرفته در عصر جدید نقش مهمی در بهبود کیفیت عمومی زندگی بشر ایفا می‌کنند. شیشه- سرامیک‌ها در بین تمامی مواد جدید، گروهی از این مواد هستند که زمینه‌ی جدید و مستقلی را در علم مواد فراهم آورده‌اند. در این گروه از مواد، امکان کسب ترکیبی از خواص ویژه از سرامیک‌های معمول تفجوشی شده و شیشه‌ها وجود دارد. به‌این ترتیب، امکان به‌دست آمدن خواص جدید و ناشناخته‌ای که تاکنون در شیشه‌ها، سرامیک‌ها و یا حتی فلزات و مواد پلی‌مری آلی مشاهده نشده است، وجود دارد. مواد نانوساختار از دیدگاه علمی و کاربردهای آن بسیار مورد توجه هستند. فرایند تبلور یکی از روش‌های مؤثر در ساخت شیشه‌های نانوساختار می‌باشد. شیشه- سرامیک‌هایی با بلورهای کوچک‌تر از ۱۰۰ نانومتر را نانوبلور می‌نامند. از طرفی، شیشه- سرامیک‌ها هنگامی شفاف می‌شوند که بلورهای آن‌ها به‌اندازه‌ی کافی کوچک باشند، یعنی کوچک‌تر از طول موج نور برخورده به آن‌ها و یا این‌که، تفاوت بین ضریب‌های شکست فاز بلوری و فاز شیشه‌ی زمینه ناچیز باشد [1]. شیشه- سرامیک‌های شفاف شامل نانوبلورها را می‌توان با جوانهزنی و رشد کترل شده‌ی شیشه‌ها به‌دست آورد [2].

گروهی از شیشه- سرامیک‌های شفاف به‌دلیل ضریب انبساط حرارتی نزدیک به صفر، پایداری شیمیایی مناسب و خواص مکانیکی خوب، مورد توجه هستند. این مواد شامل بلورهای  $\beta$ -کوارتز در شیشه‌های دستگاه  $\text{Li}_2\text{O}-\text{Al}_2\text{O}_3-\text{SiO}_2$  می‌باشند. این گروه از مواد به‌دلیل مقاومت بالا به شوک حرارتی، در ساخت پنجره‌های امنیتی، درهای ضد آتش و اجاق‌گازهای الکتریکی به کار می‌روند [3]. در کاربردهای اپتیکی که دقت ابعادی در آن‌ها بسیار مهم است مانند آینه‌ی تلسکوپ و ژیروسکوپ، نیز از این

### شماره ۱۳ انتخاب شد.

مواد اولیه برای تهیه شیشه پایه فلوبئر-میکا در این پژوهش عبارت بودند از سیلیس همدان با خلوص بیش از ۹۹ درصد،  $\text{Al}_2\text{O}_3$  (Merck Number ۱۰۹۵)،  $\text{MgF}_2$  (Merck Number ۵۸۷۰)،  $\text{Mg}(\text{OH})_2$  (Merck Number ۵۶۸۰) و  $\text{Li}_2\text{CO}_3$  (Loba Chemie). این ترکیب‌ها دارای درجهٔ خلوص بالا بودند و از شرکت مِرک خریداری شدند.

مواد اولیه پس از توزین به‌وسیلهٔ ترازوی یک کفه‌ای دیجیتال سارتریوس ساخت آلمان با دقّت ۰/۰۱ گرم، در آسیای لرزان با گلوله‌های آلومینیایی کاملاً مخلوط و همگن شدند. سپس مخلوط همگن شیشه پس از کلسینه شدن در دمای  $900^{\circ}\text{C}$  به‌مدّت یک ساعت، درون بوتهٔ آلومینیایی با اعمال فشار متراکم شد و پس از آن، در کورهٔ الکتریکی در دمای  $1450^{\circ}\text{C}$  بدون محیط محافظ ذوب شد. زمان نگهداری مذاب شیشه در دمای ذوب، حداقل  $30$  دقیقه بود. سپس مذاب حاصل درون قالب فولادی زنگ‌نزن ریخته‌گری شد. شیشه‌های ریخته‌گری شده در کوره و در دمای شیشه‌ای شدن ( $T_g$ ) به‌مدّت ۲ ساعت تاب کاری شدند. برای تعیین دمای تبلور و تغییرات وزنی، از دستگاه تحلیل حرارتی هم‌زمان (PERKIN Elmer TG/DTA) با مادهٔ مرجع  $\alpha$ -آلومینا و سرعت گرمایش  $10^{\circ}\text{C}/\text{min}$  استفاده شد. قطعات شیشه‌ای شکل داده شده در قالب، در کورهٔ الکتریکی مجهز به المان‌های حرارتی کاریید سیلیسیم حرارت داده شدند. این قطعات شیشه‌ای با سرعت  $5^{\circ}\text{C}/\text{min}$  تا دمای تبلور گرم شدند و پس از آن، در این دما به‌مدّت زمان‌های مختلف نگهداری شدند و در پایان، در کوره تا دمای اتفاق سرد شدند.

به‌منظور شناسایی نوع فازهای بلورین شیشه-سرامیک‌های تهیه شده، از دستگاه پراش پرتوی ایکس (XRD، Siemens D-500، Philips Xpert) با پرتو  $\text{Co K}\alpha$  استفاده شد.

### می‌سازد [10].

مزیت‌های شیشه-سرامیک‌های شفاف نسبت به شیشه‌ها و تک‌بلورها، آن‌ها را به عنوان مواد اپتیکی جدید مطرح کرده‌اند. خواص نوری شیشه-سرامیک‌ها شبیه به تک‌بلورها می‌باشند، اما به‌دلیل قیمت تولید پایین، سهولت ساخت قطعات بزرگ به‌شکل‌های مختلف و نیز، امکان استفاده از غلظت‌های بالای دوپنت، شیشه-سرامیک‌ها از تک‌بلورها بهترند [7]. از آنجا که گاهی نیاز است تا در ساخت تجهیزات اپتیکی قطعات برش خورده و به قطعات دیگر متصل شوند، خواص مکانیکی و حرارتی مواد اهمیت پیدا می‌کند. شیشه-سرامیک‌های پایه میکا در میان سرامیک‌ها، با داشتن قابلیت ماشین‌کاری، خواص منحصر به فرد الکتریکی، حرارتی و بیولوژیکی، شناخته شده‌اند. شیشه-سرامیک‌های میکا حاوی بلورهای فلوبئروفلوگوپیت نیز می‌توانند با یون‌های اپتیکی همراه شده و به‌این ترتیب، خواص نورتابی داشته باشند. بنابراین، اگر شیشه-سرامیک‌های میکا به صورت شفاف تولید شوند، افزون بر قابلیت ماشین‌کاری، قابلیت کاربرد در زمینه‌های اپتیکی مانند لیزر، دیودهای نشر نور و موج‌برها را نیز خواهند داشت. امکان ساخت شیشه-سرامیک شفاف میکا توسط گروهی از پژوهش‌گران مطالعه شده است [11-13]. تاروتا خواص نوری شیشه-سرامیک‌های میکای همراه شده با یون‌های اروپیم، [14]، و سریم، [15]، را بررسی کرده است.

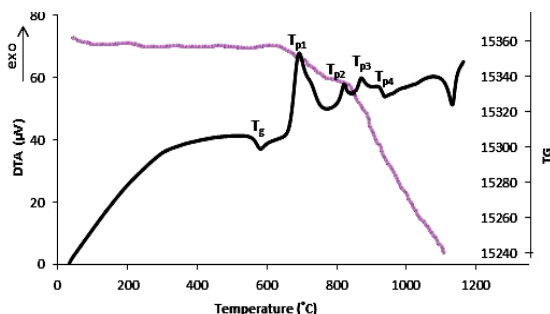
هدف از انجام این پژوهش، تهیهٔ شیشه-سرامیک میکای لیتیمی شفاف و بررسی آن از نظر ریزساختاری، آنالیز فازی و میزان شفافیت بوده است.

### روش آزمایش

ترکیب شیمیایی شیشه مورد استفاده در این تحقیق حاوی  $94/9$  درصد وزنی  $\text{Li}_{1.5}\text{Mg}_3\text{AlSi}_{4.5}\text{O}_{13.25}\text{F}_2$  و  $5/1$  درصد وزنی  $\text{MgF}_2$  بود، و این ترکیب از مرجع

ترکیب اولیه به  $44/3$  درصد وزنی در شیشه کاهش یافته است. مقادیر  $\text{Al}_2\text{O}_3$  نیز از  $9/1$  به  $7/7$  درصد وزنی و فلورئور از  $9/2$  به  $1/0$  درصد وزنی کاهش یافته‌اند. جرم عنصرهای دیگر با در نظر گرفتن خطاهای آزمایش، تقریباً ثابت مانده است. با در نظر گرفتن جرم اتمی هر یک از آن‌ها، با محاسبه می‌توان دریافت کرد که  $7/4$  درصد از اتلاف کل وزن (حدوداً  $11$  درصد وزنی) مربوط به خروج  $\text{SiF}_4$  (واکنش  $2$ ) و  $2/3$  درصد هم به دلیل تبخیر  $\text{AlF}_3$  (واکنش  $3$ ) بوده است. اتلاف وزن باقی مانده که حدوداً  $1/2$  درصد وزنی می‌شود، احتمالاً به خروج  $\text{HF}$  مربوط است (واکنش  $1$ ). هنگام فرایند ذوب مواد اولیه، ممکن است فلورئور با بخار آب موجود در محیط واکنش کرده و گاز  $\text{HF}$  تولید کند. واکنش‌های شیمیایی  $1$  تا  $3$  توصیف ساده‌ای از واکنش‌هایی هستند که ممکن است در مرحله‌ی ذوب رخ دهنند.

**آنالیز حرارتی.** پس از ذوب شدن مخلوط شیشه، گرمانگاشت آن (DTA) رسم شد (شکل  $1$ ). وجود یک پیک گرمایزا در دمای  $655^\circ\text{C}$  و چند پیک دیگر در محدوده دمایی  $800-900^\circ\text{C}$  گویای قوع تبلور فازهای مختلف در این شیشه می‌باشدند.



شکل  $1$  گرمانگاشت DTA از نمونه‌ی شیشه‌ای سریع سرد شده (سرعت گرمایش  $10^\circ\text{C}/\text{min}$ )

عامل پایداری حرارتی در شیشه عبارتست از مقاومت آن در برایر زجاجی شدن (devitrification) و

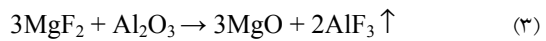
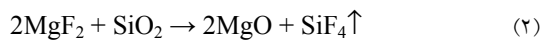
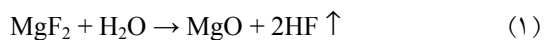
بررسی ریزساختار نمونه‌ها با استفاده از میکروسکوپ الکترونی روبشی (FESEM) ساخت شرکت Hitachi مدل S-4160 انجام گرفت.

## نتایج و بحث

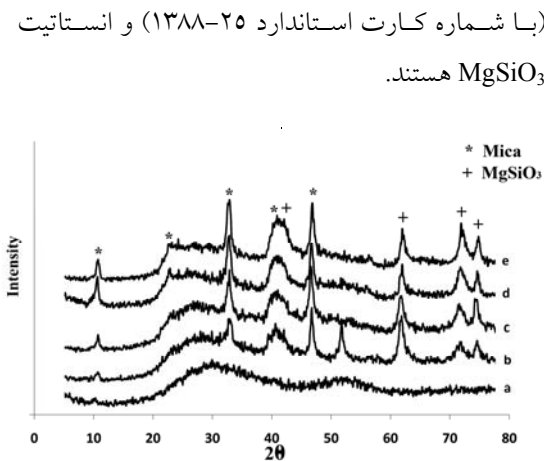
ترکیب شیمیایی. اتلاف وزن نمونه‌ی شیشه‌ای با آزمون گراویمتری اندازه‌گیری شد. تغییر وزن نمونه با دما در دماهای بالاتر از  $700^\circ\text{C}$  چشم‌گیر بود و در دمای بالاتر از  $900^\circ\text{C}$ ، به میزان قابل توجهی افزایش یافت (شکل  $1$ ). نتایج نشان دادند که در فرایند ذوب مخلوط پودر اولیه، اتلاف وزن در حدود  $11$  درصد بوده است.

نقطه‌ی جوش ترکیب فلورایدی شیشه ( $\text{MgF}_2$ ) در فشار محیط برابر با  $2260^\circ\text{C}$  است، و این بالاتر از نقطه‌ی ذوب مخلوط شیشه می‌باشد. بنابراین، واکنش‌های شیمیایی که حین ذوب انجام می‌شوند می‌باید دلیل این کاهش وزن باشند. تاروتا گزارش کرده است که در شیشه‌های میکا با ترکیب  $\text{LiMg}_3\text{AlSi}_3\text{O}_{10}\text{F}_2$  [۱۶]،  $\text{KMg}_3\text{AlSi}_3\text{O}_{10}\text{F}_2$  [۱۴]،  $\text{AlF}_3$  و فلوراید هایی مانند  $\text{SiF}_4$  در دماهای بالاتر از  $800^\circ\text{C}$  تشكیل می‌شوند، و چون نقطه‌ی جوش این مواد پایین است، از ترکیب شیشه با تبخیر خارج می‌شوند. در یک تحقیق دیگر، تغییر ترکیب شیمیایی در فرایند ذوب شیشه‌های اکسیفلوراید بررسی شده است [۱۷]. این گروه از پژوهش‌گران گزارش کرده‌اند که اتلاف وزن حین ذوب شدن مربوط به خروج گازهایی مانند  $\text{HF}$  و  $\text{SiF}_4$  می‌باشد.

پیش‌بینی می‌شود که واکنش‌های زیر در مجموعه شیشه‌ی مورد مطالعه اتفاق بیافتدند:



نتایج تجزیه‌ی شیمیایی تَر بر روی نمونه‌ی شیشه نشان دادند که مقدار  $48/6$  درصد وزنی در



شکل ۲. الگوی XRD از شیشه (a) و نمونه‌های عملیات حرارتی شده در دمای  $650^{\circ}\text{C}$  به مدت زمان ۲ ساعت (b)، ۴ ساعت (c)، ۶ ساعت (d) و ۱۵ ساعت (e)

همان‌طور که در شکل (۲) مشاهده می‌شود، مقدار فاز میکا با افزایش زمان افزایش می‌یابد و پس از ۱۵ ساعت به بیشترین مقدار خود می‌رسد. با توجه به دمای مربوط به پیک‌های گرمایزا در گرمانگاشت DTA، نمونه‌های شیشه در دماهای مختلف به مدت زمان یک ساعت عملیات حرارتی شدند. همان‌گونه که در شکل (۳) مشاهده می‌شود، میزان فاز میکا با افزایش دما افزایش یافته است و در دمای  $750^{\circ}\text{C}$  به مقدار بیشینه خود رسیده است. افزایش بیشتر دما موجب تجزیه‌ی شیمیایی میکا و کاهش شدت پیک‌های آن شده است. از دمای  $750^{\circ}\text{C}$  به بعد، فازهای دیگری مانند سیلیکات لیتیم-آلومینیم شروع به تبلور می‌کنند.

حضور فلوئور در شیشه جدایش فازی را تشدید می‌کند، و جدایش فازی اغلب منجر به کاهش سد انرژی لازم برای تبلور می‌شود [20]. افزون بر این، فلوئور و لیتیم با کاهش گرانروی و تأثیر بر عامل کیتیکی فرایند تبلور، باعث ترغیب و قوع فرایند تبلور می‌شوند [21,22]. مطابق با مطالعی که در منابع گزارش شده‌اند، ترکیب‌های میکا در محدوده دمای  $800^{\circ}\text{C}$ -

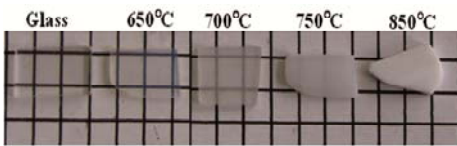
تبلور. جدایش فازی و ناهمگنی در ترکیب و ساختار شیشه تبلور را افزایش و پایداری حرارتی را کاهش می‌کند. در فرایند تبلور، هر دو عامل ترمودینامیکی و کیتیکی مؤثرند. عامل‌های متفاوتی برای تعیین میزان پایداری حرارتی وجود دارند، از جمله دمای اولیه تبلور ( $T_{on}$ )، دمای بیشینه تبلور ( $T_p$ )، دمای شیشه‌ای شدن ( $T_g$ )، نقطه‌ی ذوب شیشه ( $T_m$ ) و انرژی فعال‌سازی تبلور (E) [18]. مقدارهای این عامل‌ها با انجام آنالیزهای حرارتی DSC و DTA تعیین می‌شوند. ساده‌ترین عامل برای تعیین پایداری حرارتی،  $T_{on}-T_g=\Delta T$  می‌باشد. هر چقدر این مقدار بیشتر باشد، پایداری حرارتی شیشه بهتر خواهد بود [19]. هر چقدر مقدار انرژی فعال‌سازی نیز بیشتر باشد، شیشه‌ی مورد نظر پایداری حرارتی بهتری دارد.

در تحقیق حاضر، مقدار  $\Delta T$  با توجه به نتایج آزمون DTA برابر با  $68^{\circ}\text{C}$  به دست آمد. مقدار کم  $\Delta T$  بیان‌گر آن است که پایداری حرارتی شیشه مذبور کم بوده است و بنابراین، فرایند تبلور را می‌توان کنترل کرد. جی‌بو، [19]، نیز پایداری حرارتی و رفتار تبلور شیشه- سرامیک‌های شفاف کالکوژنید را بررسی کرده است. او بیان می‌کند که هر چقدر میزان  $\Delta T$  کم‌تر باشد، کنترل فرایند تبلور آسان‌تر خواهد بود.

**عملیات حرارتی و آنالیز فازی.** نتایج آنالیز فازی بر روی ترکیب شیشه تابکاری شده در شکل ۲a نشان داده شده است. نتایج نشان می‌دهند که شیشه‌ی تهیه شده بی‌شکل بوده است و حین سرد کردن و تابکاری، عمل تبلور در آن رخ نداده است. به‌منظور بررسی اثر زمان عملیات حرارتی بر نوع فازهای بلوری و میزان آن‌ها، نمونه‌ها در دمای پیک تبلور ( $650^{\circ}\text{C}$ ) به مدت زمان‌های مختلف عملیات حرارتی شدند. با توجه به الگوهای XRD در شکل (۲)، اولین فازهای بلوری که در شیشه بلورینه می‌شوند، میکا از نوع LiMg<sub>3</sub>AlSi<sub>3</sub>O<sub>10</sub>F<sub>2</sub> فلوئورو‌فلوگوپیت لیتیم با فرمول

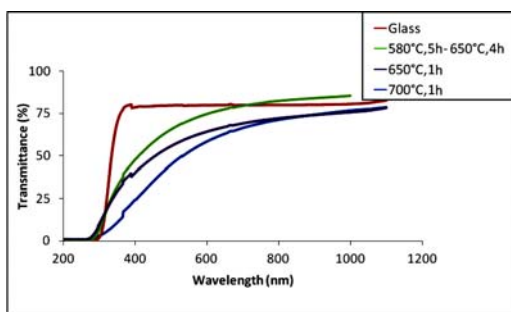
ترکیب‌هایی مانند  $MgO$  و  $MgF_2$  در شیشه کاهش می‌یابد. در نتیجه، ترکیب شیشه شبیه به فازهای دیگر مانند ترکیب‌های سیلیکات لیتیم-آلومینیم خواهد شد و بهاین ترتیب، احتمال متبلور شدن فازهایی با این ترکیب شیمیایی افزایش می‌یابد.

اگرچه مقدار بلورهای میکا با افزایش دما تا  $750^{\circ}\text{C}$  زیاد می‌شود، اما شفافیت شیشه-سرامیک‌های حاصل کاهش می‌یابد (شکل ۴).



شکل ۴. تغییر میزان شفافیت نمونه‌ها با دما

میزان شفافیت شیشه-سرامیک به درجهی بلورینگی و اندازهی بلورهای بستگی دارد. نمونه‌های عملیات حرارتی شده در دماهای بالاتر، نسبتاً دارای بلورهای بزرگ‌تر و درصد بلورینگی بالاتری هستند و در نتیجه، میزان عبور نور کمتری خواهند داشت. نمودارهای عبور نور برای نمونه‌های شیشه و شیشه-سرامیک در شکل (۵) نشان داده شده است.

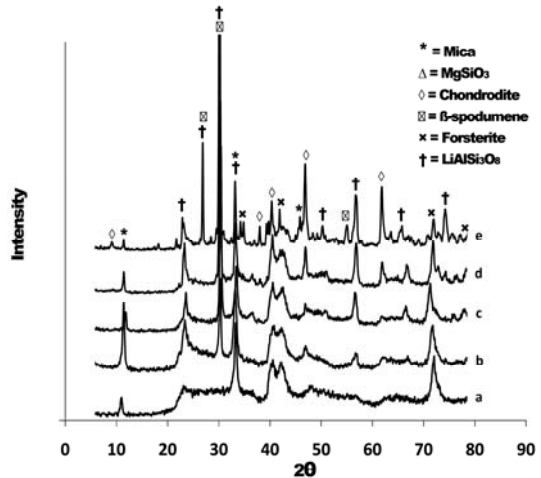


شکل ۵. نمودارهای عبور نور برای نمونه‌های شیشه و شیشه-سرامیک

در فرایند ساخت شیشه-سرامیک‌های شفاف، اندازهی بلورها باید کوچک‌تر از طول موج نور برخوردی باشد تا بهاین ترتیب، میزان پخش نور ناچیز باشد. از سوی دیگر، درصد حجمی فاز بلورین می‌باید

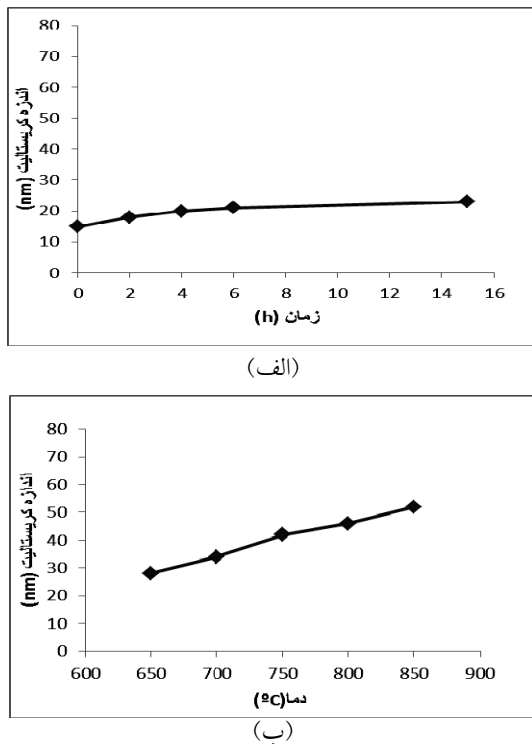
۷۵۰ شروع به شکل‌گیری می‌کنند. بنابراین، در مجموعه‌ی حاضر که شامل درصد بالایی از فلوئور و لیتیم می‌باشد، دمای تبلور کاهش می‌یابد و فازهای بلورین (به‌ویژه میکا) در دماهای پایین‌تر متبلور می‌شوند.

در دمای  $800^{\circ}\text{C}$ ، انسټاتیت ناپدید و فورستریت  $Mg_2SiO_4$  ظاهر می‌شود. همان‌طور که پیش‌تر بیان شد، حین ذوب شدن و تبلور شیشه، امکان خروج فلوئور وجود دارد. گروهی از محققان گزارش کرده‌اند که کمبود فلوئور سبب تجزیه‌ی ترکیب‌های فلوئورمیکا به فورستریت و نوربرگیت  $Mg_2SiO_4 \cdot MgF_2$  می‌شود [22]. از نقطه نظر انرژی آزاد و پایداری، فاز انسټاتیت در دماهای بالا به فاز فورستریت تبدیل می‌شود [23,24]. در این پژوهش، افزون بر دلیل‌های ارائه شده، یون‌های حاصل از تجزیه‌ی میکا نیز احتمالاً شرایط تبدیل انسټاتیت به فورستریت را فراهم کرده‌اند.

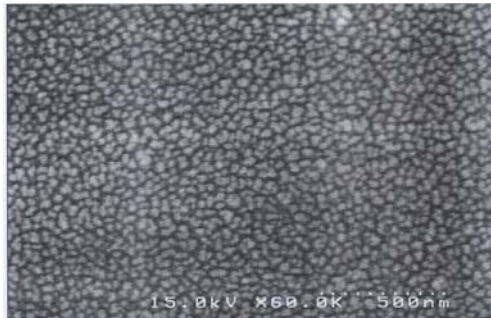


شکل ۶. تغییرات فازی در نمونه‌های حرارت داده شده در دماهای  $80^{\circ}\text{C}$ ، (b)  $100^{\circ}\text{C}$ ، (c)  $120^{\circ}\text{C}$ ، (d)  $140^{\circ}\text{C}$  و (e)، به مدت زمان یک ساعت

در دماهای بالا تا  $900^{\circ}\text{C}$ ، ترکیب‌های دیگری مانند  $\beta$ -اسپودومن  $LiAlSi_2O_6$  و کوندرودیت  $Mg_4(SiO_4)_2 \cdot MgF_2$  متبلور می‌شوند. هنگامی که بلورهای میکا در زمینه رسوب می‌کنند، مقدار



شکل ۶. تغییرات اندازه‌ی بلور میکا با زمان (الف) (در دمای  $650^{\circ}\text{C}$ ) و دما (ب)



شکل ۷. تصویر میکروسکپ الکترونی روبشی از شیشه‌ی سریع سرد شده

در سال‌های اخیر مشخص شده است که در بیشتر موارد پیش از عمل جوانه‌زنی جدایش فازی رخ می‌دهد. در این شرایط، یکی از فازهای حاصل می‌تواند استعداد بیشتری برای تبلور از خود نشان دهد (جوانه‌زنی در درون آن بهتر و سریع‌تر انجام می‌شود). در مجموعه‌های فلوقوپیت که شامل مقدار زیادی فلوئور می‌باشند، فاز اصلی شیشه بعد از سرمایش به شدت به دو فاز مایع جدایش می‌یابد. فلوئور در اثر جایگزین شدن به جای اکسیژن می‌تواند باعث افزایش سرعت جدایش فازی در شیشه شود، زیرا در نتیجه‌ی

تا حد ممکن زیاد باشد تا خواص مورد نظر در قطعه به وجود آیند. بنابراین، اندازه‌ی بلورها و درصد حجمی فاز متبلور شده عامل‌های مهمی هستند که باید برای دست‌یابی به خواص بهینه در نظر گرفته شوند. همان‌طور که پیش‌تر گفته شد، مقدار فاز میکا با افزایش دما و زمان عملیات حرارتی افزایش می‌یابد و در دمای  $750^{\circ}\text{C}$  به بیشینه‌ی خود می‌رسد. اما، میزان عبور نور در شیشه-سرامیک‌ها نیز مهم است. این عامل با افزایش دما کاهش می‌یابد. با استفاده از نتایج XRD و معادله‌ی شریر (رابطه‌ی ۱)، اندازه‌ی بلورهای میکا در نمونه‌ها محاسبه شد [۲۵].

$$D = \frac{k\lambda}{\beta \cos \theta} \quad (4)$$

در رابطه‌ی ۱،  $\lambda$  طول موج اشعه‌ی ایکس  $(\text{A})$ ،  $k$  ضریب ثابت (برابر با  $0.9788$ )،  $\theta$  زاویه‌ی پراش و  $\beta$  پهنه‌ی پیک در نصف ارتفاع بیشینه می‌باشد. ارتباط بین اندازه‌ی بلورهای میکا و دما و زمان عملیات حرارتی در شکل (۶) به تصویر کشیده شده است. همان‌طور که در نمودارها دیده می‌شود، با افزایش زمان و دمای عملیات حرارتی، اندازه‌ی بلورها افزایش می‌یابد، اما افزایش اندازه‌ی بلورها با دما سریع‌تر رخ داده است.

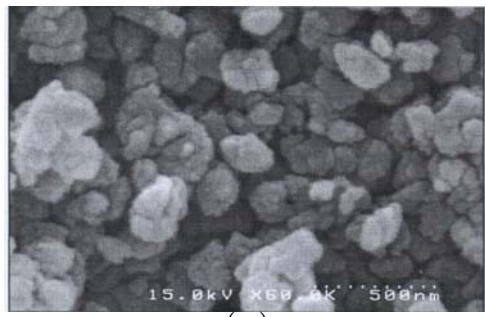
**مطالعات میکروسکوپی.** در شکل (۷)، تصویر میکروسکوپ الکترونی روبشی (SEM) مربوط به شیشه‌ی سریع سرد شده مشاهده می‌شود. جدایش فاز قطره مانند به بعد  $40$  تا  $50$  نانومتر در این تصویر دیده می‌شود. به‌نظر می‌رسد که شیشه حین سرد شدن جدایش فازی از نوع دوتایی (جوانه‌زنی و رشد) را داشته باشد.

الکترونی رویشی نمی‌توان شکل آن‌ها را دقیقاً مشخص کرد.

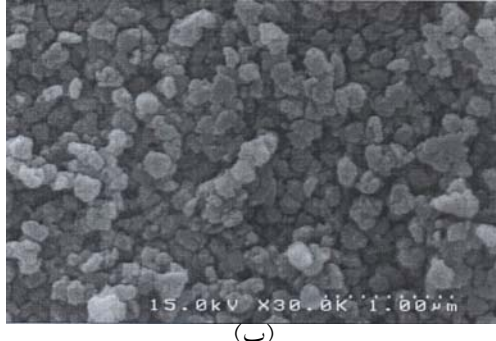
افزایش بیش‌تر دما افزون بر نوع فازهای بلوری، بر ریزساختار نمونه‌های شیشه-سرامیک نیز تأثیر می‌گذارد. ریزساختار این شیشه-سرامیک‌ها در شکل (۹) نشان داده شده است. از دمای  $700^{\circ}\text{C}$  به بالا، شفافیت نمونه‌ها به میزان چشمگیری کاهش می‌یابد. دلیل این پدیده را می‌توان افزایش بیش از حد اندازه‌ی بلورها و نیز، درصد حجمی فاز بلورین دانست. فازهای بلورین در دمای  $900^{\circ}\text{C}$  به اندازه‌ی کافی رشد می‌کنند، به گونه‌ای که بلورهای تیغه‌ای شکل میکا در ریزساختار شکل (۹-د)، کاملاً مشخص می‌باشند.



(الف)

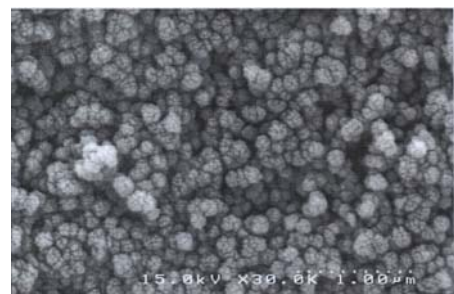


(ب)

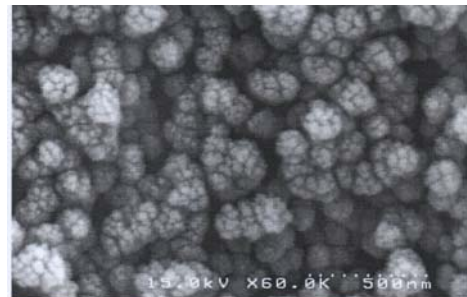


(پ)

جایگزینی آنیون  $\text{F}^-$  به جای  $\text{O}^{2-}$  شبکه‌ی شیشه شکسته شده و گرانروی آن کاهش می‌یابد. در حالت، یون‌های  $\text{Mg}^{2+}$  نیز نقش مهمی دارند و عدد همسایگی آن‌ها در طول جدایش فازی از ۴ به ۶ افزایش می‌یابد [26]. شکل (۸)، تصویر میکروسکُپ الکترونی از شیشه-سرامیک عملیات حرارتی شده در دمای  $650^{\circ}\text{C}$  به مدت زمان ۱۵ ساعت را نشان می‌دهد.



(الف)



(ب)

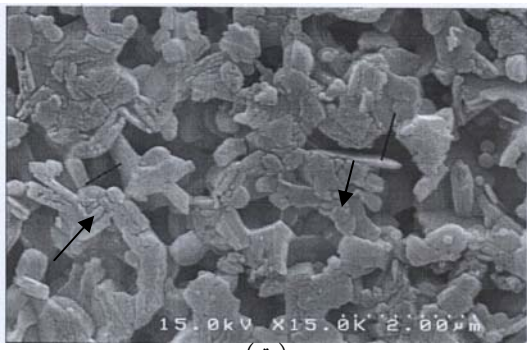
شکل ۸ تصویرهای میکروسکُپ الکترونی رویشی از شیشه متبولور شده در دمای  $650^{\circ}\text{C}$  به مدت زمان ۱۵ ساعت در دو بزرگنمایی مختلف

همان‌طور که در شکل (۸) مشاهده می‌شود، ریزساختار نمونه‌ی عملیات حرارتی شده در  $650^{\circ}\text{C}$  به مدت زمان ۱۵ ساعت از توده‌هایی بهم چسبیده به اندازه‌ی ۵۰ تا ۲۰۰ نانومتر تشکیل شده است که به‌طور یکنواختی در زمینه‌ی شیشه رسوب کرده‌اند. این توده‌ها از تعداد زیادی ذره‌ی ریزتر به‌بعد کمتر از ۳۰ نانومتر تشکیل شده‌اند. مطابق با معادله‌ی شریر، اندازه‌ی بلورهای میکا ۲۳ نانومتر است. بنابراین، می‌توان گفت که این ذره‌های ریزتر همان بلورهای میکا هستند. این توده‌ها کروی هستند، اما از روی تصویرهای میکروسکُپ

$MgF_2$  تهیه کرد. حضور فلوراید منیزیم در ترکیب میکا، سبب تشدید جدایش فازی در شیشه‌ی پایه و تشکیل مقدار زیادی فاز میکا به اندازه‌ی کمتر از ۳۰ نانومتر در زمینه‌ی شیشه می‌شود.

-۲- در فرایند ساخت شیشه- سرامیک‌های شفاف، اندازه‌ی بلورها و مقدار فاز بلورین عامل‌های مهمی هستند که در انتخاب شرایط بهینه می‌باید در نظر گرفته شوند. بر اساس نتایج به دست آمد، دمای  ${}^{\circ}C$  ۶۵۰ و زمان ۱۵ ساعت به عنوان بهترین شرایط برای تبلور انتخاب شدند.

- ۳- با افزایش دما و زمان تبلور، درصد حجمی بلورها و اندازه‌ی آنها افزایش می‌یابند و در دمای  ${}^{\circ}C$  ۷۵۰ به میزان بیشینه خود می‌رسند. اما در مقابل، شفافیت نمونه‌ها کم می‌شود و در این شرایط، تأثیر دما شدیدتر از زمان است.



شکل ۹. تصویرهای میکروسکُپ الکترونی رویشی از شیشه‌ی متبلور شده در دمای  ${}^{\circ}C$  ۷۰۰ (الف)،  ${}^{\circ}C$  ۷۵۰ (ب)،  ${}^{\circ}C$  ۸۰۰ (پ) و  ${}^{\circ}C$  ۹۰۰ (ت) به مدت زمان یک ساعت

### نتیجه‌گیری

از تحقیق انجام شده نتایج زیر به دست آمده‌اند:

۱- شیشه- سرامیک نانوبلور و شفاف میکائی لیتیمی را می‌توان از شیشه‌هایی با ترکیب  $Li_{1.5}Mg_3AlSi_{4.5}O_{13.25}F_2$  ۹۴/۹ درصد وزنی

### مراجع

1. Beall G., Pinckney L., "Nanophase glass-ceramics", American Ceramic Society, Vol. 82[1] pp. 5-16, (1999).
2. Shinozaki K., Honma T., Komatsu T., "Elastic properties and Vickers hardness of optically transparent glass-ceramics with fresnoite  $Ba_2TiSi_2O_8$  nanocrystals," Materials Research Bulletin Vol. 46, pp. 922-928, (2011).
3. McMillan P. W., "Glass-Ceramics", Academic Press, London, pp. 222-230, (1979).
4. Petzoldt J., Pannhorst W., "Chemistry and structure of glass-ceramic materials for high precision optical application.", Non-Crystalline Solids, Vol. 129, pp. 191, (1991).
5. Suzuki T., Arai Y., "Quantum efficiencies of near infrared emission from  $Ni^{2+}$ -doped glass-ceramics." Luminescent, Vol. 128, pp. 603-609, (2008).
6. Pinckney L., Beall G., "Nanocrystalline non-alkali glass-ceramics." Non-Crystalline Solids, Vol. 219, pp. 219, (1997).
7. Alekseeva I., Dymshits O., Tsenter M., "Optical application of glass-ceramics." Non-Crystalline Solids, Vol. 356, pp. 3042-3058, (2010).
8. F. Borrelli and M. Layton, "Dielectric and optical properties of transparent ferroelectric glass-ceramic systems." *Journal of Non-Crystalline Solids*, Vol. 6, pp. 197-212, (1971).
9. A. Tarafder and K. Annapurna, Structure, "dielectric and optical properties of  $Nd^{3+}$ -doped  $LiTaO_3$  transparent ferroelectric glass-ceramic nanocomposites." *Journal of Alloys and Compounds*, Vol.

- 489, pp. 281-288, (2010).
10. Gancalves M., "Rare earth-doped transparent glass-ceramics." *C.R. Chimie*, Vol. 5, pp. 845-854, (2002).
  11. Taruta S., Sakata M., Yamaguchi T., "Crystallization process and some properties of novel transparent machinable calcium-mica glass-ceramics," *Ceramics International*, Vol. 4, pp. 75-79, (2008).
  12. Taruta S., Ichinose T., "Preparation of transparent lithium-mica glass-ceramics," *Non-Crystalline Solids*, Vol. 352, pp. 5556-5563, (2006).
  13. Taruta S., Suzuki M., Yamakami T., "Preparation and ionic conductivity of transparent glass-ceramics containing a large quantity of lithium-mica", *Non-Crystalline Solids*, Vol. 354, pp. 848-855, (2008).
  14. Taruta S., Matsuki M., Nishikiori H., "Preparation and luminescent properties of Eu-doped transparent mica glass-ceramics". *Ceramics International*, Vol. 36, pp. 1303-1309, (2010).
  15. Taruta S., Iwasaki Y., "Microstructure and luminescent properties of Ce-doped transparent mica glass-ceramics." *Material Science and Engineering B*, in Press.
  16. Taruta S., Hayashi T., Kitajima K., "Preparation of machinable cordierite/mica composite by low-temperature sintering," European Ceramic Society, Vol. 24, pp. 3149-3154, (2004).
  17. Gugov I., Muller M., Russel C., "Transparent oxyfluoride glass ceramics co-doped with Er<sup>3+</sup> and Yb<sup>3+</sup> - crystallization and upconversion spectroscopy." *Solid State Chemistry*, Vol. 184, pp. 1001-1007, (2011).
  18. Nascimento M.L.F., "Can glass stability parameters infer glass forming ability?" *Non- Crystalline Solids*, Vol. 351, pp. 3296-3308, (2005).
  19. Gu S., "Second-harmonic generation in transparent surfaced crystallized GeS<sub>2</sub>-GaS<sub>3</sub>-CdS chalcogenide glasses." *Optics Communications*, Vol. 281, pp. 2651-2655, (2008).
  20. Radonjic Lj., Nikolic Lj., "The effect of fluorine source and concentration on the of machinable glass-ceramics," *Journal of European Ceramic Society*, Vol. 7, pp. 11-16, (1991).
  21. Kodaira K., "Preparation and characterization of fluorphlogopite-fluromuscovite mica glass-ceramics," *Materials Research Bulletin*, Vol. 19, pp. 1427-1432, (1984).
  22. Denry I.L., Lejus A.M., Thery J., Masse M., "Preparation and characterization of a new lithium-containing glass-ceramics." *Materials Research Bulletin*, Vol. 34, pp.1615-1627, (2000).
  23. L.M. Echeverria, "Enstatite ceramics: a multicomponent system via sol-gel." *Journal of Non-Crystalline Solids*, Vol. 147&148, pp. 559-564, (1992).
  24. G.H. Beall, "Chain silicate glass-ceramics." *Journal of Non- Crystalline Solids*, Vol. 129, pp. 163-173, (1991).
  25. B.J. Chen, L. Lin, X.J. Li, E.Y.B. Pun, H. Lin, "Optical properties of Eu<sup>3+</sup> in transparent Y-Ti-O nanocrystallized sol-gel film," *Journal of Alloys and Compounds*, Vol. 485, pp. L5-L8, (2009).
  26. Z. Strnad, "Glass-Ceramics Materials" Elsevier Science Publishing Company, New York, U.S.A. (1986) P. 72-73.